

پایداری وضعیت و مانور نانو ماهواره واکنش سریع با عملگرهای ژیروسکوپی

امیرعلی نیکخواه^{۱*}، جواد طبی^۲ و جعفر روشنی‌یان^۳

^{۱، ۲ و ۳}- دانشکده مهندسی هوافضا، دانشگاه صنعتی خواجه نصیرالدین طوسی

* تهران، کد پستی: ۱۶۵۶۹-۸۳۹۱۱

Nikkhah@kntu.ac.ir

در این مقاله، شبیه‌سازی سیستم کنترل وضعیت یک نانو ماهواره مجهز به عملگرهای ژیروسکوپی تک‌قابی با به کارگیری راهبردهای کنترلی مختلف، ارائه شده است. سیستم کنترل وضعیت در حالت پایداری وضعیت از راهبردهای LQG و در حالت مانوری ماهواره از راهبرد کنترل فیدبک کواترنیون استفاده می‌کند. در حالت پایداری وضعیت با خطی‌سازی معادلات دینامیکی غیرخطی ماهواره و عملگرهای ژیروسکوپی، کنترل‌های LQR و طراحی LQG شده‌اند؛ به طوری که در سایر تحقیقات صورت گرفته در این زمینه، از این کنترل‌ها در پایداری وضعیت استفاده نشده است. در حالت مانوری ماهواره نیز از یک کنترل فیدبک کواترنیون به فرم خطی به منظور سیستم غیرخطی استفاده شده است. کارایی سیستم کنترل وضعیت و راهبردهای کنترلی ارائه شده برای یک نانو ماهواره مجهز به عملگرهای ژیروسکوپی تک‌قابی با آرایش هرمی در نرم‌افزار سیموولیک / متلب بررسی شده است. نتایج شبیه‌سازی بیانگر تحقق پایداری وضعیت و مانور ماهواره در زوایای بزرگ و همچنین دقت بیشتر راهبردهای LQR و LQG در مقایسه با روش فیدبک کواترنیون است.

واژه‌های کلیدی: کنترل وضعیت ماهواره، ماهواره واکنش سریع، ژیروسکوپ کنترل ممان (CMG)، هدایت ژیروسکوپ کنترل ممان، شرایط تکینگی، LQG/LQR

علامه و اختصارات

R^B_O	ماتریس تبدیل از مختصات مداری به مختصات بدنی	
R	ماتریس وزنی	
T_{ext}	مجموع گشتاورهای اغتشاشی خارجی	
T_c	گشتاور کنترلی	
V	تابع لیابانوف	
h_{cmg}	بردار مومتوم زاویده‌ای ژیروسکوپ کنترل ممان	
m	اندازه تکینگی	
$[q_1, q_2, q_3, q_4]$	مؤلفه‌های کواترنیون وضعیت	
$[q_{1e}, q_{2e}, q_{3e}, q_{4e}]$	بردار خطای کواترنیون وضعیت	
$[q_{1e}, q_{2e}, q_{3e}, q_{4e}]$	بردار کواترنیون فرمان وضعیت	
		A
		B
		E
		Hs
		Is
		J _δ
		K
		Q

ژیروسکوپ‌های کنترل ممان در سال ۱۹۷۸ از پیشتازان این کار بودند. بدروسیان [۵ و ۶] در سال ۱۹۹۰ قوانین هدایت را برای ژیروسکوپ‌های کنترل ممان تک قابی^۵ ارائه کرد و روش معکوس MPP^۶ با یک الگوریتم بلاذر را برای موفق نبودن الگوریتم‌های موجود با استفاده از فرمان‌های گشتاور یک سویه نشان داد. وادالی [۶] در سال ۱۹۹۱ تولید فرمان گشتاور با استفاده از ژیروسکوپ‌های کنترل ممان تک قابی و تخمین زوایای قاب‌بندی اولیه مطلوب را برای سیستم‌های ژیروسکوپ کنترل ممان تک قابی برای دوری از تکینگی‌های داخلی، عنوان کرد. آه و وادالی [۷] یک مجموعه کامل معادلات حرکت شامل اینرسی عرضی روتور به همراه ترم‌های اینرسی جیمبال را استنباط کردند. در سال ۱۹۹۷، قانون هدایت محدود ژیروسکوپ کنترل ممان هرمی توسط کاروکاوا [۹] ارائه شد. پس از این فضای مومنتوم زاویه‌ای محدود شده شناسایی شد و بسته مومنتوم به دست آمد. علاوه بر این، کاروکاوا کاربردهای این روش را برای کنترل سیستم ژیروسکوپ کنترل ممان ایستگاه فضایی میر توصیف کرد. وی [۱۰] با اصلاح روش معکوس SR، منطقی جدید را معرفی کرد که به عبور از میان تکینگی‌های داخلی کمک می‌کرد.

علاوه بر تحقیقاتی که در زمینه قوانین هدایت و شرایط تکینگی ژیروسکوپ‌های کنترل ممان بیان شد، قسمت دیگری از این تحقیقات به بررسی قوانین کنترلی متمرک شده‌اند. کنترلهایی که با فرض گشتاور مستقیم حول محورهای بدنی ماهواره به کار می‌رود، به دلیل تولید گشتاورهای ماهواره با عملگرهایی به همراه دینامیک اضافی، برای کاربردهایی که نیازمند کنترل وضعیت دقت بالا هستند مناسب نیست. ظرفیت گشتاور تولیدی ژیروسکوپ‌های کنترل ممان به علت تعییر در دینامیک مانند فرسایش یاتاقان و افزایش اصطکاک در قاب‌بندی ممکن است، کاهش یابد. علاوه بر این به دلیل اتفاق انژری، صرف توان ژیروسکوپ کنترل ممان نیز افزایش خواهد یافت. ماهواره‌های هیپارکوس و مازلان [۱۱]، نمونه‌هایی از شکست ماهواره‌های واقعی از چالش‌های ژیروسکوپ کنترل ممان هستند. هیپارکوس به دلیل تعداد زیادی خرابی ژیروسکوپی شکست خورد. یکی از این عیوبها به علت گشتاور مقاوم بالا و متغیر در جایرو شماره ۴ بود که به تخربی نا به هنگام منجر شد. ماهواره مازلان مدت ۵ ماه در راه رسیدن به نووس قرار داشت اما قبل از این که مأموریت را شروع نکند رانش نامنظم موتوور در یکی از ژایروها نمایان شد. دلیل این خرابی اصطکاک ایجاد شده به علت خطای فرآیند ساخت در رونگکاری یاتاقان یافت شد که با مواد زائد آلوده شده بود. طراحی سیستم کنترل وضعیت برای ماهواره به علت نامعینی‌های پارامتریک، اغتشاشات و غیرخطی‌ها که معمولاً در دینامیک ماهواره وجود دارند پیچیده است. برای فائق آمدن بر این چالش‌ها به طور نمونه کنترلر وضعیت بر اساس شبکه‌های عصبی^۷

u	بردار کنترل
v	نوبز اندازه‌گیری
w	نوبز ورودی
X	متغیر حالت
y	متغیر خروجی
φ	زاویه دوران (رول)
θ	زاویه فراز پیچ
Ψ	زاویه سمت یاو
ω	بردار سرعت زاویه‌ای ماهواره
β	زاویه شبیه هرم
δ	بردار زاویه قاب ژیروسکوپ کنترل ممان

مقدمه

اخیراً بسیاری از مأموریت‌های فضایی به دلایل آسان‌تر بودن، ساخت سریع، هزینه‌کمتر و افزایش فرصت پرتاب، از ماهواره‌های کوچک استفاده می‌کنند. برخی از این مأموریت‌ها شامل وظایفی هستند که نیازمند مانورهای سریع ماهواره هستند. مانورهای سریع ماهواره در محدوده ۱-۱۰ درجه بر ثانیه و مانورهای بسیار سریع در محدوده مانوری ۱۰-۴۰ درجه بر ثانیه قرار دارند [۱]. به دلیل ویژگی‌های منحصر به فرد مانند دامنه گشتاور بالا، ذخیره مومنتوم و هزینه کمتر، ژیروسکوپ‌های کنترل ممان^۸ به منظور تحقیق مانورهای سریع ماهواره استفاده می‌شوند. با قابلیت اجرای مانورهای سریع، ماهواره قادر است اهداف نزدیک زمین را برای چندین دقیقه ردیابی کند. موارد کاربردهای علمی و فنی زیر نیازمند مانورهای سریع و بسیار سریع ماهواره هستند:

- اهداف نقطه‌ای؛ که ماهواره نیاز دارد تا روی یک هدف ایستا قفل کند و تصاویر پایدار فراهم کند. نمونه‌ای از این موارد مشاهده ستاره‌های است.
- ردیابی هدف؛ که ماهواره نیاز دارد یک هدف متحرک را دنبال کند. نمونه‌ای از این موارد ردیابی شهاب‌سنگ‌ها و مشاهده تخلیه الکتریکی بالای اتمسفر است.
- علاوه بر این، قابلیت عکس‌العمل سریع ماهواره به طور چشمگیر محدوده عملیاتی و بازدهی ماهواره را افزایش داده و همچنین محدودیت‌های زمانی مربوط به انتقال داده‌ها را برطرف می‌سازد. این موضوع کارایی زیادی در آرایش پروازی ماهواره‌ها دارد.
- اولین تحقیق در مورد استفاده از ژیروسکوپ‌های کنترل ممان برای کنترل وضعیت فضایی‌ما توسط جاکوت و لیسکا انجام پذیرفت [۲].
- مارگولیس و اوبران [۳] در فرمول‌بندی تئوری تکینگی و کنترل برای

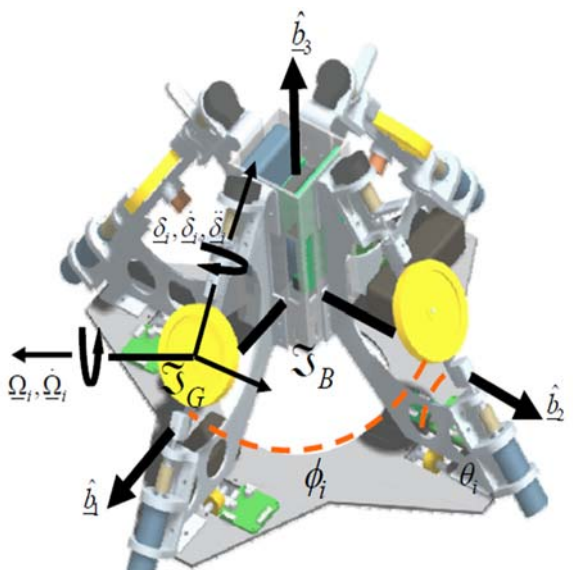
6. Moore Penrose Pseudo
7. Neural networks

4. Control Moment Gyros

5. Single Gimbal Control Moment Gyro (SGCMG)

فرار از شرایط تکینگی استفاده می‌شود. به منظور تحقق کنترل وضعیت سه محوره ماهواره، حداقل سه ژیروسکوپ کنترل ممان تک قابی مورد نیاز است. اما به دلیل ایجاد عملکرد غیرکارا که با عنوان تکینگی داخلی شناخته می‌شود، در بهینه‌ترین حالت، سیستم کنترل وضعیت نیازمند ۴ عدد از این عملگرهاست.

در شکل (۱) آرایش هرمی ژیروسکوپ‌های تک قابی دانشگاه فلوریدا نشان داده شده است. a: بیانگر محورهای مختصات بدنی، $\delta_1, \delta_2, \delta_3$ به ترتیب زاویه تقدم، نرخ تقدم و شتاب تقدم قابهای ژیروسکوپ هستند. $\dot{\Omega}_1, \dot{\Omega}_2$ به ترتیب سرعت و شتاب چرخ طیار هستند که در حالت ژیروسکوپ‌های تک قابی سرعت چرخ چرخان ثابت است. زاویه θ_i نشان داده شده در شکل (۱) بیانگر زاویه شیب صفحه هرم است که برای تولید بسته مومنتوم زاویه‌ای کروی برابر $54^\circ/7$ درجه انتخاب می‌شود.



شکل ۱- آرایش هرمی ۴ ژیروسکوپ تک قابی [۱۵]

مدل‌سازی دینامیک وضعیت ماهواره مجهز به عملگرهای ژیروسکوپی

مومنتوم زاویه‌ای کل ماهواره به صورت مجموع مومنتوم زاویه‌ای بدنی ماهواره و مومنتوم زاویه‌ای ژیروسکوپ‌ها به صورت زیر بیان می‌شود:

$$H_s = I_s \omega + h_{cmg} \quad (1)$$

در معادله (۱)، H_s مومنتوم زاویه‌ای کل سیستم نسبت به محور بدنی، I_s ماتریس اینرسی کل ماهواره شامل عملگرهای، ω بردار

[۱۳ و ۱۲] به کار برد شده است. ماقیونیس [۱۴] یک کنترلر تطبیقی غیرخطی استفاده کرده است، که نامعینی‌های اینرسی و نامعینی اصطکاک قاب‌بندی را جبران می‌کند، به طوری که به جای ایجاد یک گشتاور کنترلی برای حل کردن مسئله تعقیب وضعیت، کنترلر تعقیب وضعیت در ترم‌هایی از سرعت زاویه‌ای قاب ژیروسکوپ کنترل ممان ایجاد شده‌اند. این کار به واسطه این که ورودی کنترل با یک ماتریس نامعینی غیرخطی زمان متغیر ضرب شده، پیچیده شده است. پیچیدگی بیشتر به دلیل ترم کنترل سرعت قاب اضافه شده در یک غیرخطی ناپیوسته (یعنی تابع علامت استاندارد) منتج از اثرات اصطکاک استاتیک ژیروسکوپ کنترل ممان ناشی می‌شود.

در این مقاله، با بررسی تحقیقات صورت گرفته در این زمینه، یک کنترلر دو سطحی به منظور کنترل وضعیت ماهواره با عملگرهای ژیروسکوپی تک قابی ارائه شده است. در حالت پایداری وضعیت راهبردهای کنترلی LQR و LQG به کار گرفته شده‌اند که در تحقیقات انجام شده در این زمینه، از راهبرد LQR با خطی‌سازی معادلات غیرخطی با روش جاکوبین و راهبرد LQG با در نظر گرفتن نویزهای سیستم و اندازه‌گیری استفاده نشده است. در حالت مانوری ماهواره نیز راهبرد کنترل فیدبک کواترنیون با به کارگیری منطق هدایت GSR برای اجرای مانورهای سریع ماهواره استفاده شده است. با استخراج سینماتیک، دینامیک ماهواره و عملگرهای ژیروسکوپی و طراحی کنترلرهای شبیه‌سازی این سیستم به منظور کنترل وضعیت نانوماهاواره در مدار 300 کیلومتری انجام شده است.

ژیروسکوپ کنترل ممان تک قابی

این عملگرها از یک محور تک قابی برای تولید گشتاور ژیروسکوپی با استفاده از چرخش روتور چرخان حول محور عمود بر محورهای قاب بهره می‌برند و پیچیدگی مکانیکی کمتری نسبت به ژیروسکوپ‌های کنترل ممان دو قابی^۸ و سرعت متغیر^۹ دارند. به طور کلی ژیروسکوپ‌های کنترل ممان به سه نوع تک قابی، دو قابی و سرعت متغیر تقسیم می‌شوند که در این پژوهش به دلایل زیر از ژیروسکوپ کنترل ممان تک قابی استفاده شده است:

- قابلیت تولید گشتاور و مومنتوم زاویه‌ای بیشتر که منجر به یک پایداری زیاد پلتفرم می‌شود.
 - مصرف توان، جرم و ابعاد مناسب با توجه به میزان گشتاور تولیدی
 - ساختار مکانیکی ساده
- با توجه به مزایای بیان شده، یکی از مزایای اصلی ژیروسکوپ‌های کنترل ممان تک قابی نسبت به سایر عملگرهای ژیروسکوپی وجود بیشترین تکینگی در مقایسه با سایر عملگرهای ژیروسکوپی است که برای رفع این چالش از روش‌های هدایت ژیروسکوپ به منظور دوری یا

$$h = h(\delta) \quad (4)$$

با درنظر گرفتن بردارهای مومنتوم زاویه‌ای چهار ژیروسکوپ کنترل ممان تک‌قابی و زاویه β در شکل (۲) و با تصویر کردن بردارهای مومنتوم زاویه‌ای در محورهای بدنی ماهواره داریم:

$$\begin{aligned} h_{cmg} &= h_0 \begin{bmatrix} -\cos \beta \sin \delta_1 \\ \cos \delta_1 \\ \sin \beta \sin \delta_1 \end{bmatrix} + h_0 \begin{bmatrix} -\cos \delta_2 \\ -\cos \beta \sin \delta_2 \\ \sin \beta \sin \delta_2 \end{bmatrix} \\ &+ h_0 \begin{bmatrix} \cos \beta \sin \delta_3 \\ -\cos \delta_3 \\ \sin \beta \sin \delta_3 \end{bmatrix} + h_0 \begin{bmatrix} \cos \delta_4 \\ \cos \beta \sin \delta_4 \\ \sin \beta \sin \delta_4 \end{bmatrix} \end{aligned} \quad (5)$$

مشتق زمانی h به صورت زیر است:

$$\dot{h}_{cmg} = J(\delta)\dot{\delta}, \quad J = \frac{\partial h_{cmg}}{\partial \delta} \equiv \left[\frac{\partial h_{cmg i}}{\partial \delta_j} \right] \quad (6)$$

در معادله (۶)، J بردار نزخ تقدم قاب است. $J(\delta)$ یک ماتریس $3 \times n$ است که جاکوبین طرح مومنتوم زاویه‌ای (معادله (۷)) است. n تعداد عملگرهای ژیروسکوپ کنترل ممان استفاده شده در سیستم کنترل وضعیت ماهواره است.

$$J(\delta) = \frac{\partial h_{cmg}}{\partial \delta} = \begin{bmatrix} -\cos \beta \cos \delta_1 & \sin \delta_2 & \cos \beta \cos \delta_3 & -\sin \delta_4 \\ -\sin \delta_1 & -\cos \beta \cos \delta_2 & \sin \delta_3 & \cos \beta \cos \delta_4 \\ \sin \beta \cos \delta_1 & \sin \beta \cos \delta_2 & \sin \beta \cos \delta_3 & \sin \beta \cos \delta_4 \end{bmatrix} \quad (7)$$

پایداری و وضعیت ماهواره

در این تحقیق پایدارسازی و وضعیت ماهواره با استفاده از راهبردهای کنترلی LQR^۱ و LQG^۲ انجام شده است. برای به کارگیری این روش‌ها معادلات غیرخطی مربوط به دینامیک و سینماتیک ماهواره خطی‌سازی شده و در نهایت به فرم فضایی حالت تبدیل شده‌اند. در طول حالت پایداری فقط تعییرات کوچک زوایا در نظر گرفته می‌شوند. سینماتیک خطی‌سازی شده با ترتیب زوایای $\phi \rightarrow \theta \rightarrow \psi$ (ابتدا سمت ψ ، سپس فراز θ و در آخر دوران ϕ) را می‌توان به صورت زیر بیان کرد [۱۷].

$$\begin{aligned} \dot{\omega}_x &= \dot{\phi} - \dot{\psi}\omega_0 \\ \dot{\omega}_y &= \dot{\theta} \\ \dot{\omega}_z &= \dot{\psi} + \dot{\phi}\omega_0 \end{aligned} \quad (8)$$

در معادلات (۸)، ω_0 سرعت زاویه‌ای متوسط مداری ماهواره، $[\omega_x, \omega_y, \omega_z]$ سرعت زاویه‌ای ماهواره نسبت به مختصات اینرسی بیان شده در مختصات مرجع بدنی هستند. با جایگذاری معادلات (۸) به

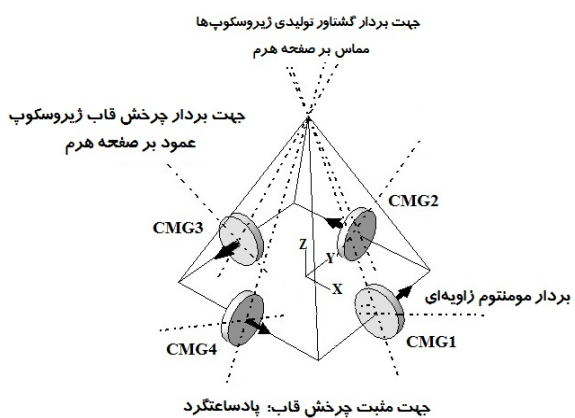
سرعت زاویه‌ای ماهواره در مختصات بدنی و h_{cmg} بردار مومنتوم زاویه‌ای و سایل تبادل مومنتوم (در اینجا ژیروسکوپ‌ها) در محورهای بدنی است. با جایگذاری این رابطه در معادله حرکت چرخشی در مختصات بدنی و ساده‌سازی معادلات داریم:

$$\begin{aligned} \dot{H}_s + \omega \times H_s &= T_{ext} \\ I_x \dot{\omega}_x &= T_x - \omega_z \omega_y (I_z - I_y) + T_{c_1} \\ I_y \dot{\omega}_y &= T_y - \omega_z \omega_x (I_x - I_z) + T_{c_2} \\ I_z \dot{\omega}_z &= T_z - \omega_y \omega_x (I_y - I_x) + T_{c_3} \end{aligned} \quad (2)$$

مجموع گشتاورهای خارجی عمل کننده روی ماهواره (شامل گشتاور T_{ext} گرادیان جاذبه، فشار تابش خورشید، آبیودینامیک و مغناطیسی) و گشتاور کنترلی هستند. گشتاور کنترلی برای یک ماهواره کنترل شده با وسایل تبادل مومنتوم به صورت زیر بیان می‌شود.

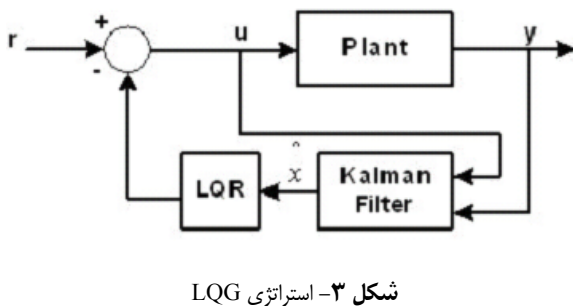
$$\begin{aligned} \dot{h}_{cmg} + \omega \times h_{cmg} &= -T_c \\ -\dot{h}_{cmg} - \omega \times h_{cmg} &= T_c \end{aligned} \quad (3)$$

در معادله (۳)، $[h_{cmg}, \omega_x, \omega_y, \omega_z]$ و $[I_x, I_y, I_z]$ به ترتیب مؤلفه‌های سرعت زاویه‌ای ماهواره در مختصات بدنی و ممان اینرسی کل ماهواره هستند. مختصات مرجع و آرایش هرمی ژیروسکوپ کنترل ممان تک‌قابی در شکل (۲) ارائه شده است. مطابق شکل (۲) راستای بردار چرخش قاب یا تقدم ژیروسکوپ عمود بر صفحه هرم و راستای گشتاور کنترلی مماس بر وجهه هرم هستند. جهت‌های مثبت بردار مومنتوم زاویه‌ای چرخه‌ای طیار نیز برای ژیروسکوپ‌های تک‌قابی ۱ تا ۴ در شکل (۲) نشان داده شده‌اند.



شکل ۲- مختصات مرجع و آرایش هرمی ژیروسکوپ‌های کنترل ممان تک‌قابی هر یک از صفحه‌های هرم نسبت به قاعده هرم دارای زاویه انحراف $\beta = 54, 73^\circ$ هستند و کنترل سه محوره کامل با قابلیت مومنتوم تقریباً برابر در همه محورها را با کمترین افونگی فراهم می‌کند [۱۶]. بردار مومنتوم زاویه‌ای ژیروسکوپ h تابعی از زاویه قاب ژیروسکوپ ۵ مطابق معادله (۴) است.

را می‌دهد. ترکیب این تخمین بهینه با کنترل بهینه، یک سیستم بهینه حلقه بسته خواهد داد. لیکن تخمین و کنترل را می‌توان به طور جداگانه بررسی و از پیچیده شدن بیش از حد مسئله ترکیب شده جلوگیری کرد. دیاگرام کلی سیستم در شکل (۳) نشان داده شده است.



شکل ۳- استراتژی LQG

مانور سریع ماهاواره

برای انجام مانورهای سریع ماهاواره بنابر تعریف ارائه شده در مقدمه، کنترل فیدبک خطی به فرم زیر به کار گرفته شده است [۶].

$$u = -Kq_e - D\omega \quad (14)$$

مطابق رابطه (۱۴) q_e (خطای کواترنیون) و ω (نرخ سرعت زاویه‌ای ماهاواره) به کنترل فیدبک، برای تولید بردار گشتاور کنترل u تقدیم می‌شوند. به منظور بیان اختلاف بین کواترنیون لحظه‌ای (q) و کواترنیون فرمان (q_c)، خطای کواترنیون به صورت زیر توصیف می‌شود:

$$\begin{bmatrix} q_{1e} \\ q_{2e} \\ q_{3e} \\ q_{4e} \end{bmatrix} = \begin{bmatrix} q_{4c} & q_{3c} & -q_{2c} & -q_{1c} \\ -q_{3c} & q_{4c} & q_{1c} & -q_{2c} \\ q_{2c} & -q_{1c} & q_{4c} & -q_{3c} \\ q_{1c} & q_{2c} & q_{3c} & q_{4c} \end{bmatrix} \begin{bmatrix} q_1 \\ q_2 \\ q_3 \\ q_4 \end{bmatrix} \quad (15)$$

در رابطه (۱۵)، $q_e = [q_{1e}, q_{2e}, q_{3e}, q_{4e}]$ بردار خطای کواترنیون وضعیت، $q_c = [q_{1c}, q_{2c}, q_{3c}, q_{4c}]$ بردار کواترنیون فرمان هستند. در رابطه (۱۴)، K و D ماتریس‌های وزنی هستند که به طور مناسب انتخاب می‌شوند. بهره‌های سیستم از وی [۱۸]، به فرم معادله (۱۶) انتخاب شده‌اند. در [۲۰] و [۱۹] نشان داده شده است که سیستم غیرخطی حلقه بسته ماهاواره صلب با کنترل فیدبک حالت خطی با فرم معادله (۱۴) به طور کلی پایدار مجانبی برای بهره‌های انتخاب شده در رابطه (۱۶) است. در روابط (۱۶) ζ نسبت میرایی و ω فرکانس طبیعی است. $I_{s/c}$ ماتریس اینرسی کل فضای پیما و ω بردار سرعت زاویه‌ای فضای پیما هستند.

همراه گشتاور گرادیان جاذبه به عنوان گشتاور خارجی و گشتاورهای تحقیق یافته عملگرها در معادلات (۲) و با درنظر گرفتن متغیرهای حالت به فرم (۹)، ماتریس‌های حالت و کنترل با استفاده از روش جاکوبین به فرم ماتریس‌های (۱۰) و (۱۱) استخراج می‌شوند:

$$\begin{aligned} x_1 &= \phi, x_2 = \theta, x_3 = \psi, x_4 = \dot{\phi}, x_5 = \dot{\theta}, x_6 = \dot{\psi} \\ u_1 &= \dot{\delta}_1, u_2 = \dot{\delta}_2, u_3 = \dot{\delta}_3, u_4 = \dot{\delta}_4 \end{aligned} \quad (9)$$

$$A = \begin{bmatrix} 0 & 0 & 0 & 1 & 0 & 0 \\ 0 & 0 & 0 & 0 & 1 & 0 \\ 0 & 0 & 0 & 0 & 0 & 1 \\ \frac{4\omega_0^2(I_z - I_y)}{I_x} & 0 & 0 & 0 & 0 & \frac{\omega_0^2(I_x + I_z - I_y)}{I_x} \\ 0 & \frac{3\omega_0^2(I_x - I_z)}{I_y} & 0 & 0 & 0 & 0 \\ 0 & 0 & \frac{\omega_0^2(I_x - I_y)}{I_z} & \frac{\omega_0^2(I_y - I_z - I_x)}{I_z} & 0 & 0 \end{bmatrix} \quad (10)$$

$$B = \begin{bmatrix} 0 & 0 & 0 & 0 \\ 0 & 0 & 0 & 0 \\ 0 & 0 & 0 & 0 \\ \frac{h_0 \cos \beta}{I_x} & 0 & -\frac{h_0 \cos \beta}{I_x} & 0 \\ 0 & \frac{h_0 \cos \beta}{I_y} & 0 & -\frac{h_0 \cos \beta}{I_y} \\ -\frac{h_0 \sin \beta}{I_z} & -\frac{h_0 \sin \beta}{I_z} & -\frac{h_0 \sin \beta}{I_z} & -\frac{h_0 \sin \beta}{I_z} \end{bmatrix} \quad (11)$$

در راهبرد LQR هدف محاسبه قانون کنترل فیدبک $u = -K(t)x(t)$ با کمینه کردن معیار بینه‌سازی J به صورت زیر است:

$$J = \int_0^\infty x^T(t)Qx(t) + u^T(t)Ru(t)dt, \quad (12)$$

ماتریس K از حل معادلات ریکاتی به دست خواهد آمد. تکنیک LQR اغلب برای سیستم‌های که مدل‌های معقولانه دقیق و حسگرها و عملگرهای ایده‌آل دارند، مناسب است. به همین علت روش LQG به فرم زیر به کار گرفته شده است تا اثرات نویزهای ورودی سیستم و نویزهای اندازه‌گیری در نظر گرفته شوند.

$$\begin{aligned} \dot{x}(t) &= Ax(t) + Bu(t) + Gw(t) \\ y(t) &= Cx(t) + v(t) \end{aligned} \quad (13)$$

حل مسئله LQG شامل دو زیر مسئله تعیین سیگنال کنترل توسط تخمین حالت از خروجی و به کارگیری قانون کنترل بهینه براساس اصل دوگان [۲] است. با توجه به فرض خطی بودن سیستم و گوسی بودن نویز، هر سیگنال تصادفی در سیستم نیز گوسی است و به طور کامل توسط میانگین و واریانس آن مشخص می‌شود. فیلتر کالمان یک تخمین غیر بایان شده با واریانس حداقل فراهم آورده و بهترین تخمین بردار حالت

پایداری رسیده است. با تنظیم مجدد بهره‌ها و افزایش تلاش کنترلی این زمان کاهش خواهد یافت. اما در این روش نویزهای ورودی و اندازه‌گیری سیستم در نظر گرفته نشده‌اند و عملکرد آن‌ها ایده‌آل فرض شده است. از این‌رو در واقعیت ممکن است موارد مطرح شده منجر به ناپایداری یا خطای سیستم شود. به همین دلیل مطابق نتایج شکل (۵) از روش LQG برای پایدارسازی با درنظر گرفتن نویزهای ورودی و اندازه‌گیری سیستم استفاده شده است. با تنظیم بهره‌های سیستم تقریباً نتایجی مطابق حالت ایده‌آل (LQR) به دست آمده است. در شکل (۶) نمودار نرخ چرخش جیمبال قبل از فیلترینگ در روش LQG نشان داده شده است. از معایب این روش نداشتن روند سیستماتیک در انتخاب بهره‌های سیستم است.

جدول ۱- پارامترهای شبیه‌سازی ماهواره

مقادیر	پارامتر
۳۰۰	ارتفاع مدار دایره‌ای (km)
۵۰	جرم ماهواره (kg)
[۲/۵ ۲/۵ ۲/۵]	ممان ایترسی ماهواره (kg.m ²)
۰/۳۵	مومنتوم زاویه‌ای ژیروسکوپ کنترل ممان (N.m.s)
۵۴/۷۳	زاویه شیب هرم (deg) (β)
±۰/۱۲	نرخ مجاز قاب ژیروسکوپ‌ها (rad/s)

جدول ۲- مشخصات عملگر ژیروسکوپی [۱۶]

مقدار	پارامتر
۳۰ گرم	DC جرم موتور
۱۵۰ گرم	چرخ مومنتوم
۹ گرم	جرم موتور جیمبال
۶ گرم	گیربکس موتور جیمبال
۵-۱۲ ولت	ولتاژ
~۲۰۰ گرم	جرم هر ژیروسکوپ کنترل ممان
۲۰ گرم	اویونیک ژیروسکوپ کنترل ممان
۲۰۰ گرم	قطعات مکانیکی
۱-کیلوگرم	جرم کل ژیروسکوپ کنترل ممان

جدول ۳- شرایط اولیه

±۰/۱۲	نرخ مجاز قاب (rad/s)
[۱۰ ۱۰ ۱۰]	زوازای اویلر اولیه (deg)
[۰ ۰ ۰]	زوازای اویلر جیمبال (deg)

$$K = kI_{s/c}, \frac{k}{2} = \omega_n^2 \quad (16)$$

$$D = dI_{s/c}, d = 2\zeta\omega_n$$

علاوه بر مراجع [۲۰ و ۱۹]، می‌توان با استفاده ازتابع کاندید لیاپانوف به صورت رابطه (۱۷) نیز پایداری را برسی کرد. در رابطه (۱۷) انرژی کل ماهواره به عنوان تابع کاندید لیاپانوف انتخاب می‌شود. انرژی کل ماهواره مجموع انرژی جنبشی ناشی از چرخش ماهواره در مدار و انرژی پتانسیل به دلیل گرادیان جاذبه و اثرات ژیروسکوپی ناشی از چرخش حول زمین هستند.

$$V(x) = E_{tot} \quad (17)$$

با جایگذاری انرژی پتانسیل و جنبشی در رابطه (۱۷) و ساده‌سازی روابط، تابع لیاپانوف به صورت رابطه (۱۸) به دست خواهد آمد. در این رابطه، ماتریس چرخش مداری به بدنی به صورت $c_i^B = [c_{1i}^B \ c_{2i}^B \ c_{3i}^B]^T$ بیان شده است که

$$E_{tot} = \frac{1}{2}(\omega_{Bo}^B)^T I \omega_{Bo}^B + \frac{3}{2}\omega_0^2((I_x - I_z)C_{13}^2 + (I_y - I_x)C_{23}^2) + \frac{1}{2}\omega_0^2((I_x - I_y)C_{21}^2 + (I_x - I_z)C_{31}^2) \quad (18)$$

رابطه (۱۸) به عنوان تابع کاندید لیاپانوف شرایط زیر را برآورده می‌کند:

$$V(0) = 0 \quad (19)$$

$$V(x) > 0 \quad \forall x \neq 0$$

مشتق تابع لیاپانوف به صورت زیر بیان می‌شود:

$$\dot{V} = (\omega_{Bo}^B)^T \tau^B \quad (20)$$

با جایگذاری رابطه (۱۴) به عنوان گشتاور به کار بردۀ شده در سیستم در رابطه (۲۰) داریم:

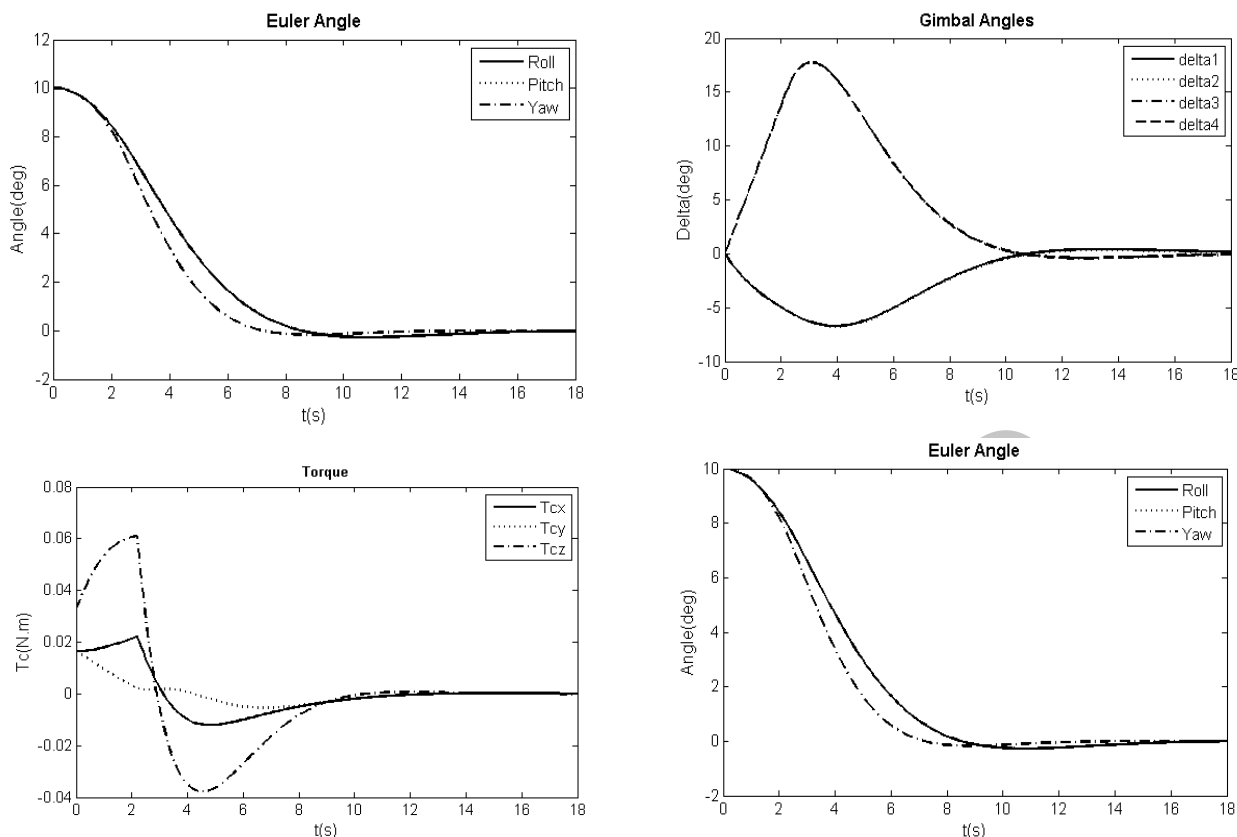
$$\dot{V} = (\omega_{Bo}^B)^T \tau^B = (\omega_{Bo}^B)^T (-Kq_{ed} - D\omega) \quad (21)$$

با جایگذاری روابط سینماتیک و ساده‌سازی رابطه (۲۱) در نهایت شرط پایداری $0 < \dot{V}$ محقق می‌شود.

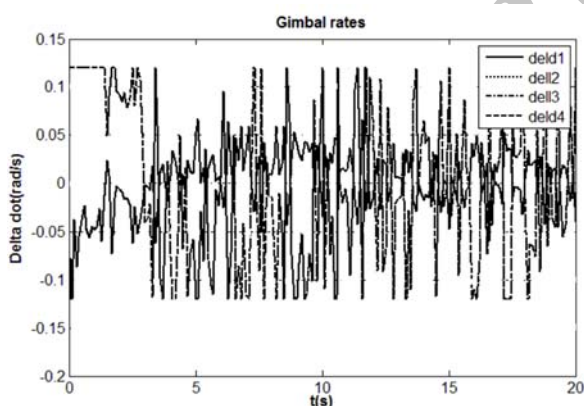
شبیه‌سازی

عملکرد کنترلهای ارائه شده به منظور کنترل وضعیت نانوماهواره با عملگرهای ژیروسکوپی تک‌قابلی با آرایش هرمی، به وسیله شبیه‌سازی دینامیکی معادلات و طراحی کنترل در نرم‌افزار سیمولینک/ متلب مورد بررسی قرار گرفته‌اند. پارامترهای عمومی استفاده شده ماهواره و مشخصات عملگر ژیروسکوپی در شبیه‌سازی‌ها مطابق جداول (۱ و ۲) هستند.

نتایج شبیه‌سازی پایداری وضعیت با روش LQR در شکل (۴) مطابق با شرایط اولیه جدول (۳) ارائه شده است. مطابق شکل (۴) در روش LQR سیستم در کمتر از ۱۸ ثانیه با کمترین تلاش کنترلی به

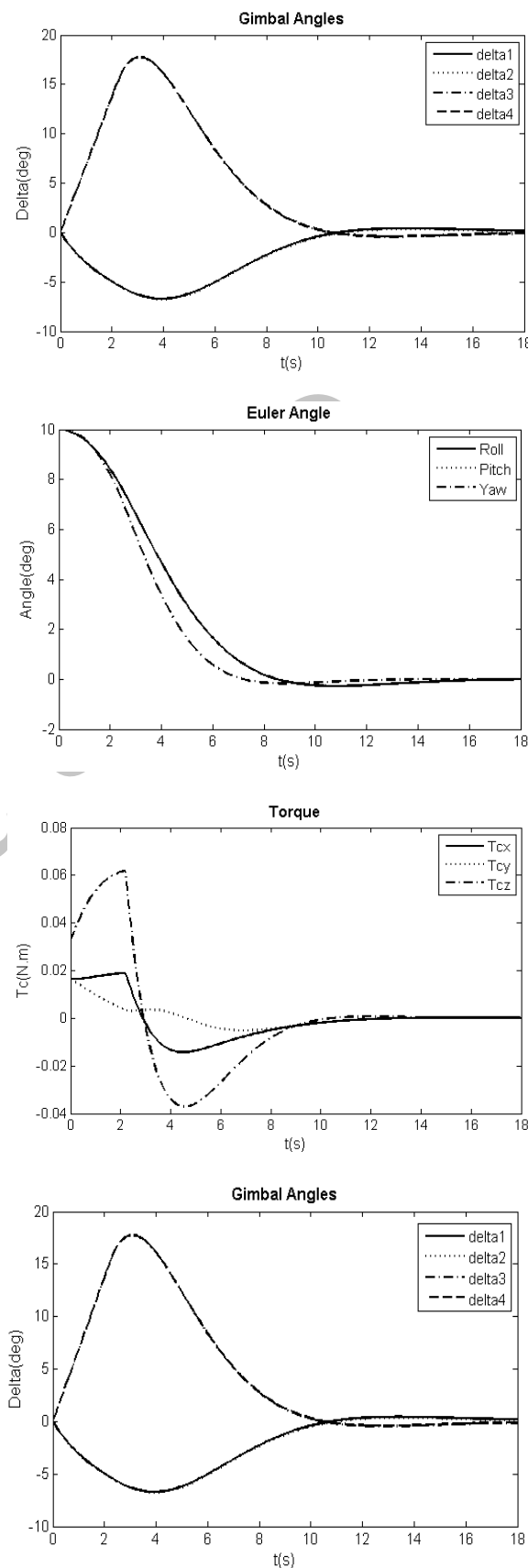


شکل ۵- پایدارسازی با روش LQG بعد از فیلترینگ با در نظر گرفتن نویز سیستم و اندازه‌گیری



شکل ۶- نمونه نتایج شبیه‌سازی LQG قبل از فیلترینگ

نتایج شبیه‌سازی حالت مانوری ماهواره با استفاده از راهبرد فیدبک کواترنیون در شکل (۷) نشان داده شده است. در این شبیه‌سازی مانور سه محوره ماهواره به مقدار $[30 \ 20 \ 40]$ درجه، بر اساس زوایای اولیه قاب $[0 \ 0 \ 0]$ و زوایای اویلر اولیه صفر مد نظر بوده است. در این شبیه‌سازی از روش GSR [۱۰] در هدایت ژیروسکوپ‌ها استفاده شده است. مطابق شکل مانور سه محوره در کمتر از ۱۶ ثانیه محقق شده است. نتایج ارائه شده براساس مشخصات



شکل ۴- نتایج پایدارسازی با روش LQR

نتیجه‌گیری

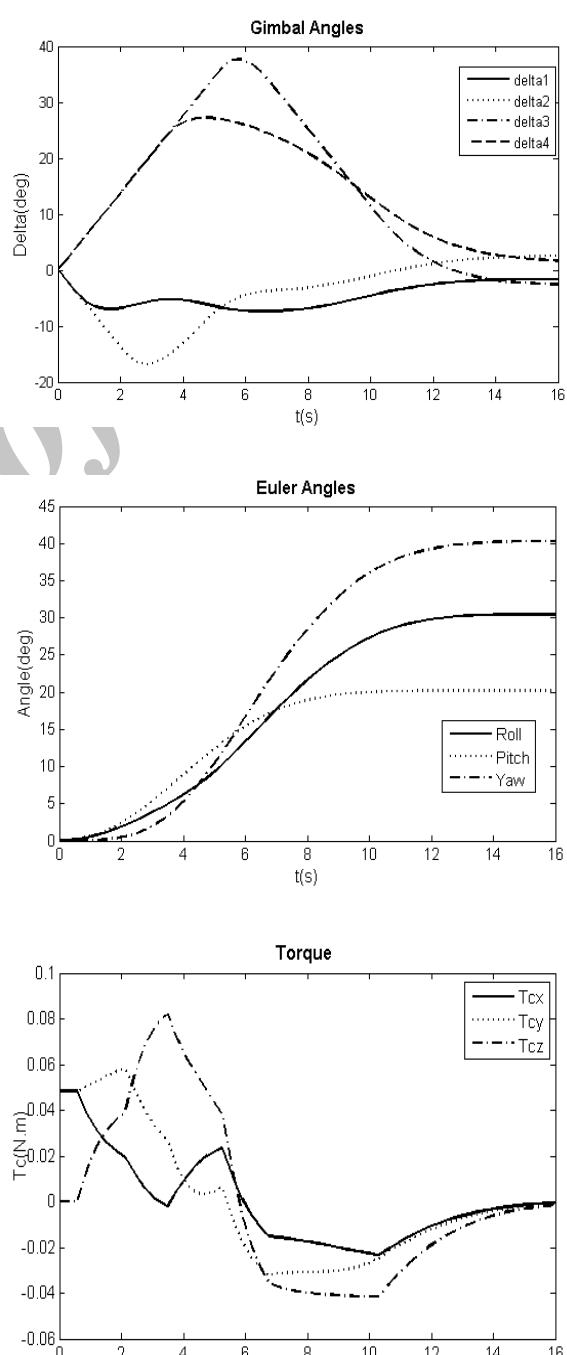
در این مقاله، شبیه‌سازی سیستم کنترل وضعیت یک نانو ماهواره مجهرز به عملگرهای ژیروسکوپی کنترل ممان تک قابی با به کارگیری راهبردهای کنترلی مختلف ارائه شد. راهبرد LQG تا به حال در تحقیقات انجام شده برای ماهواره‌های واکنش سریع استفاده نشده و راهبرد LQR نیز برای اولین بار با فرم معادلات ارائه شده، استفاده شده است. در حالت پایداری، روش‌های ارائه شده پایداری وضعیت را بدون نیاز به منطق هدایت فراهم کرده و نویزهای ورودی به سیستم و نویزهای اندازه‌گیری را در نظر می‌گیرند، از این‌رو در مقایسه با سایر روش‌ها برتری دارند. نتایج شبیه‌سازی بیانگر پایداری وضعیت در حالت‌ها و زوایای مختلف با کمترین تلاش کنترلی است. در حالت مانوری ماهواره با به کارگیری راهبرد کنترل فیدبک کواترنیون، مانورهای سریع در حالت‌ها و زوایای مختلف محقق شده است. در این حالت به دلیل استفاده از منطق هدایت ژیروسکوپ، عملکرد سیستم در حالت تکینگی وابسته به عملکرد منطق هدایت است که در این مقاله، از منطق هدایت GSR استفاده شده و با یک تأخیر زمانی از حالت‌های تکینگی عبور می‌کند. به طور کلی عملگرهای ژیروسکوپی دقت وضعیت کمتر از ۱ درجه را فراهم می‌کنند؛ به طوری که در راهبردهای مطرح شده در این مقاله، دقت LQR/LQG کواترنیون فیدبک کوتاه‌تر است. در روش فیدبک کواترنیون در شرایط تکینگی دقت وضعیت، وابسته به عملکرد منطق هدایت خواهد بود و اغلب دقت کمتر، از حالت بدون تکینگی است. به طور کلی نتایج بیانگر دقت بیشتر روش LQR/LQG در مقایسه با کنترل فیدبک کواترنیون است.

مراجع

- [1] Gersh, J. and Peck, M. "Violet: A High-Agility Nanosatellite for Demonstrating Small Control-Moment Gyroscope Prototypes and Steering Law," *AIAA Guidance, Navigation, and Control Conference*, Chicago, August 2009.
- [2] Jacot, A. D. and Liska, D. J., "Control Moment Gyros in Attitude Control," *Journal of Spacecrafts and Rockets*, Vol. 3, No.9, 1966, pp. 1313-1320.
- [3] Margulies, G. and Aubrun, J. N., "Geometrical Theory of Single Gimbal Control Moment Gyro System," *The Journal of the Astronautical Sciences*, Vol. XXVI, No.2, 1978, pp.159-191.
- [4] Bedrossian, N.S., Paradiso, J., Bergman, E. and Rowell, D., "Redundant Single Gimbal Control Moment Gyroscope Singularity Analysis," *Journal of Guidance*, Vol. 13, No. 6, 1990, pp. 1096-1099.

ژیروسکوپ جدول (۲) است. با استفاده از بهینه‌سازی سیستم یا عملگر ژیروسکوپی با قابلیت نرخ چرخش بالاتر، زمان مانور کاهش خواهد یافت.

در سیستم کنترل وضعیت ارائه شده می‌توان در حالت پایداری وضعیت از راهبرد LQR/LQG و در حالت مانوری از راهبرد فیدبک کواترنیون استفاده کرد. نتایج شبیه‌سازی‌های مختلف بیانگر تحقق مانورهای تک محوره، دو محوره و سه محوره با مقادیر مختلف است.



شکل ۷- نتایج شبیه‌سازی مانور سریع ماهواره

- [13] Unnikrishnan, N., Balakrishnan, S.N. and Padhi, R., "Dynamical Optimization of a Spacecraft Attitude Controller in the Presence of Uncertainties," *Proceeding of IEEE, Symposium on Intelligent Control*, Munich, Germany, Oct. 2006.
- [14] Makunis, W., "Adaptive Satellite Attitude Control in the Presence of Inertia and CMG Gimbal Friction Uncertainties," *The Journal of the Astronautical Sciences*, Vol. 56, No. 1, 2008, pp. 121–134.
- [15] Leve, F. A. Developement of the Spacecraft Orientation Buoyancy Experimental Kiosk, (Thesis Ms.c.), University of Florida, 2008.
- [16] Lappas, V. A Control Moment Gyro Based Attitude Control System for Agile Satellites, (Thesis PhD), University of Surrey, 2002.
- [17] Sidi, M., *Spacecraft Dynamics and Control*, Cambridge Aerospace Series 7, 1997.
- [18] Wie, B. and Lu, J., "Feedback Control Logic for Spacecraft Eigenaxis Rotations under Slow Rate and Control Constraints," *Journal of Guidance, Control and Dynamics*, Vol. 18, No. 6, 1995, pp. 1372-1379.
- [19] Wie, B. and Weiss, H., "Quaternion Feedback Regulator for Spacecraft Eigenaxis Rotation," *Journal of Guidance, Control and Dynamics*, Vol. 12, No. 3, 1989, pp. 375-380.
- [20] Wie, B. and Barba, P. M., "Quaternion Feedback for Spacecraft Large Angle Maneuvers," *Journal of Guidance, Control and Dynamics*, Vol. 8, No. 3, 1985, pp. 360–365.
- [5] Bedrossian, N. S., Paradiso, J. and Bergman, E., "Steering Law Design for Redundant Single Gimbal Control Moment Gyroscopes," *Journal of Guidance*, Vol. 13, No. 6, 1990, pp. 1083-1089.
- [6] Vadali, S. R. Oh, H.S. and Walker, S., "Preferred Gimbal Angles for Single Gimbal Control Moment Gyroscopes," *Journal of Guidance, Control and Dynamics*, Vol. 13, No. 6, 1990, pp. 1090-1095.
- [7] Oh, H.S. and Vadali, S. R., "Feedback Control and Steering Laws for Spacecraft Using Single Gimbal Control Moment Gyros," *The Journal of the Astronautical Sciences*, Vol. 39, No. 2, 1991, pp. 183-203.
- [8] Meffe, G. and Stocking, M., "Momentum Envelope Topology of Single Gimbal CMG Arrays for Space Vehicle Control," *Proceedings of AAS Guidance and Control Conference*, Keystone, CO., 1987.
- [9] Kurokawa, H., "Constrained Steering Law of Pyramid-Type Control Moment Gyros and Ground Tests," *Journal of Guidance, Control and Dynamics*, Vol. 20, No. 3, 1996, pp. 445-449.
- [10] Wie, B., Bailey, D. and Heiberg, C., "Singularity Robust Steering Logic for Redundant Single-Gimbal Control Moment Gyros," *Journal of Guidance, Control and Dynamics*, Vol. 24, No. 5, 2001, pp. 865-871.
- [11] Harland, D. M. and Lorenz, R. D., *Space Systems Failures*, Springer-Praxis, 2005.
- [12] KrishnaKumar, K. "Adaptive Neuro-Control for Spacecraft Attitude Control," *Proceeding of the IEEE Conference on Control Applications*, Aug. 1994.